Examples of Font and Line Spacing

1. **Thai language: use TH Sarabun New with single line spacing.**

ขนาด 14 พอยต์ ชนิดตัวพิมพ์ธรรมดา (Normal)

ขนาด 14 พอยต์ ชนิดตัวพิมพ์หนา (Bold)

ขนาด 14 พอยต์ ชนิดตัวพิมพ์เอน (Italic)

ขนาด 16 พอยต์ ชนิดตัวพิมพ์ธรรมดา (Normal)

ขนาด 16 พอยต์ ชนิดตัวพิมพ์หนา (Bold)

ขนาด 16 พอยต์ ชนิดตัวพิมพ์เอน (Italic)

ขนาด 18 พอยต์ ชนิดตัวพิมพ์ธรรมดา (Normal)

ขนาด 18 พอยต์ ชนิดตัวพิมพ์หนา (Bold)

ขนาด 18 พอยต์ ชนิดตัวพิมพ์เอน (Italic)

2. **English language: use TH Sarabun New or Times New Roman with 1.5 line spacing**

Font size 12 point, Normal style

Font size 12 point, Bold style

Font size 12 point, Italic style

Font size 14 point, Normal style

Font size 14 point, Bold style

Font size 14 point, Italic style

Example of Page Margin and Odd-numbered Page

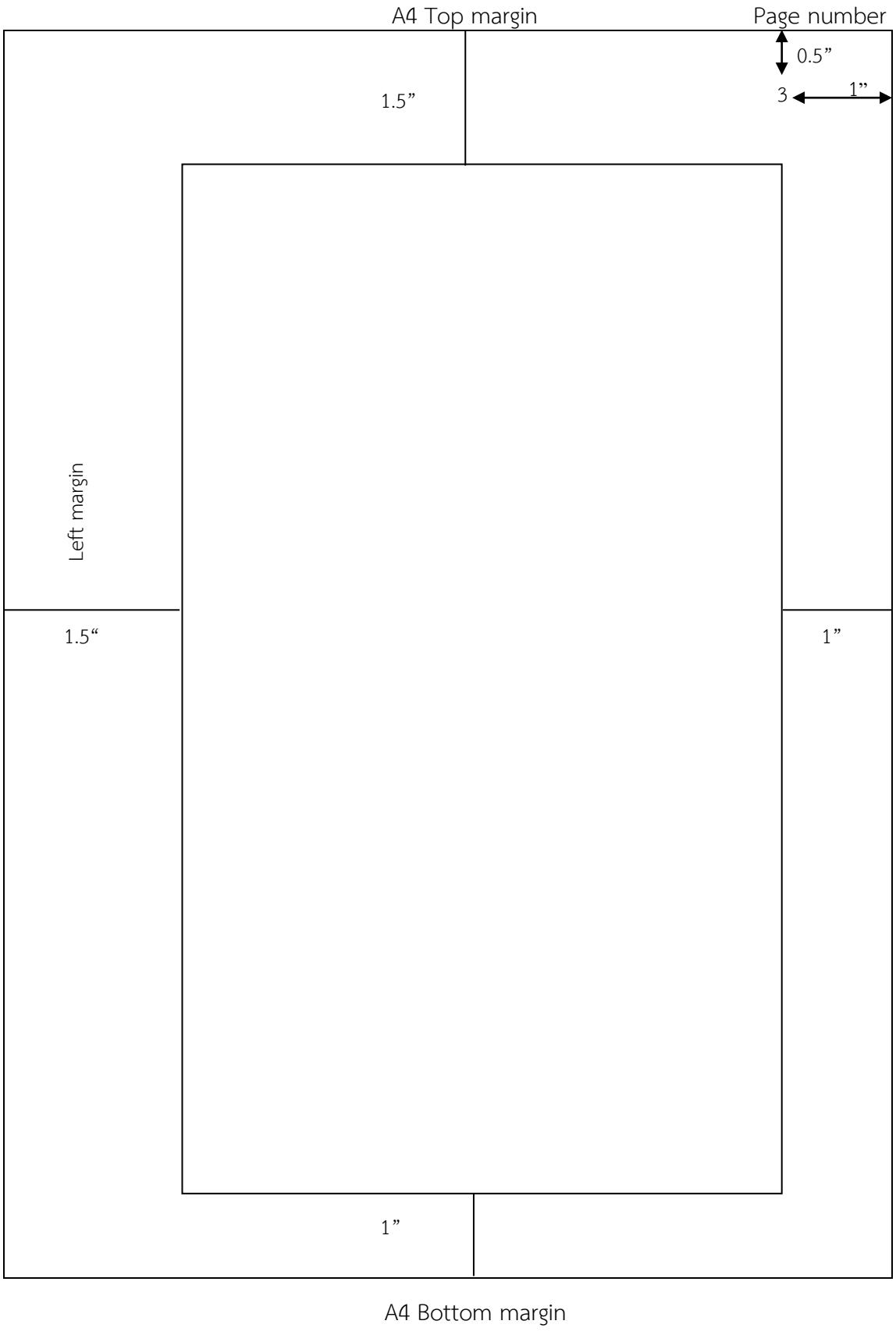

Example of Page Margin on Even-Numbered Pages

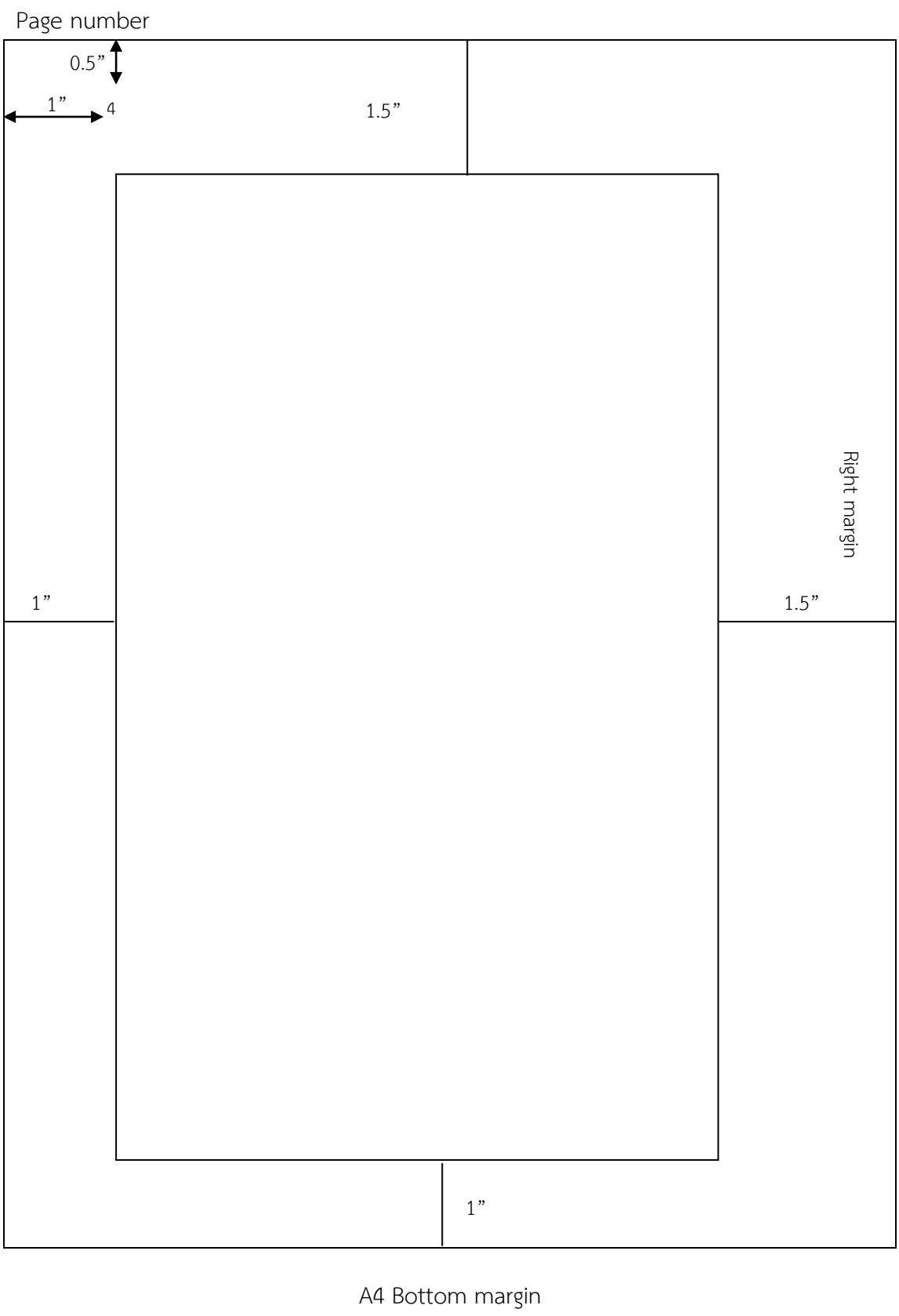

Example of Indentation and Division between Headings and Sub-Headings

(Example 1)

Type 1

1. Heading

*****Indent.....

.....

*****1.1 Sub-Heading 1**

*********Indent.....

.....

1.1.1 Sub-Heading 2

1.1.2 Sub-Heading 2

1.1.2.1 Sub-Heading 3

1) Sub-Heading 4

2) Sub-Heading 4

1.1.2.2 Sub-Heading 3

1.1.3 Sub-Heading 2

1.2 Sub-Heading 1

2. Heading

2.1 Sub-Heading 1

2.1.1 Sub-Heading 2

2.1.1.1 Sub-Heading 3

2.2 Sub-Heading 1

2.3 Sub-Heading 1

3. Heading

Example of Indentation and Division between Headings and Sub-Headings

(Example 2)

Type 2

1. Heading

*****Indent.....

.....

*****1.1 Sub-Heading 1**

*********Indent.....

.....

1.1.1 Sub-Heading 2

1.1.2 1.1.1 Sub-Heading 2

1.1.2.1 Sub-Heading 3

ก. Sub-Heading 4

ข. Sub-Heading 4

1.1.2.2 Sub-heading 3

1.1.3 Sub-Heading 2

1.2 Sub-Heading 1

2. Heading

2.1 Sub-Heading 1

2.1.1 Sub-Heading 2

2.1.1.1 Sub-Heading 3

2.2 Sub-Heading 1

2.3 Sub-Heading 1

3. Heading

Example of Indentation and Division between Headings and Sub-Headings

(Example 3)

Type 3

Heading 1 (No numbering)

******Indent.....

.....

******1. Sub-Heading 1**

**********Indent.....

.....

1.1 Sub-Heading 2

1.2 Sub-Heading 2

1.2.1 Sub-Heading 3

1.2.1.1 Sub-Heading 4

1.2.1.2 Sub-Heading 4

1.2.2 Sub-Heading 3

1.3 Sub-Heading 2

2. หัวข้อย่อยระดับที่ 1

Heading 2

1. Sub-Heading 1

1.1 Sub-Heading 2

1.1.1 Sub-Heading 3

2. Sub-Heading 1

3. Sub-Heading 1

Heading 3

Example of Chapter and Content Layout–Thai Version

(Example 1)

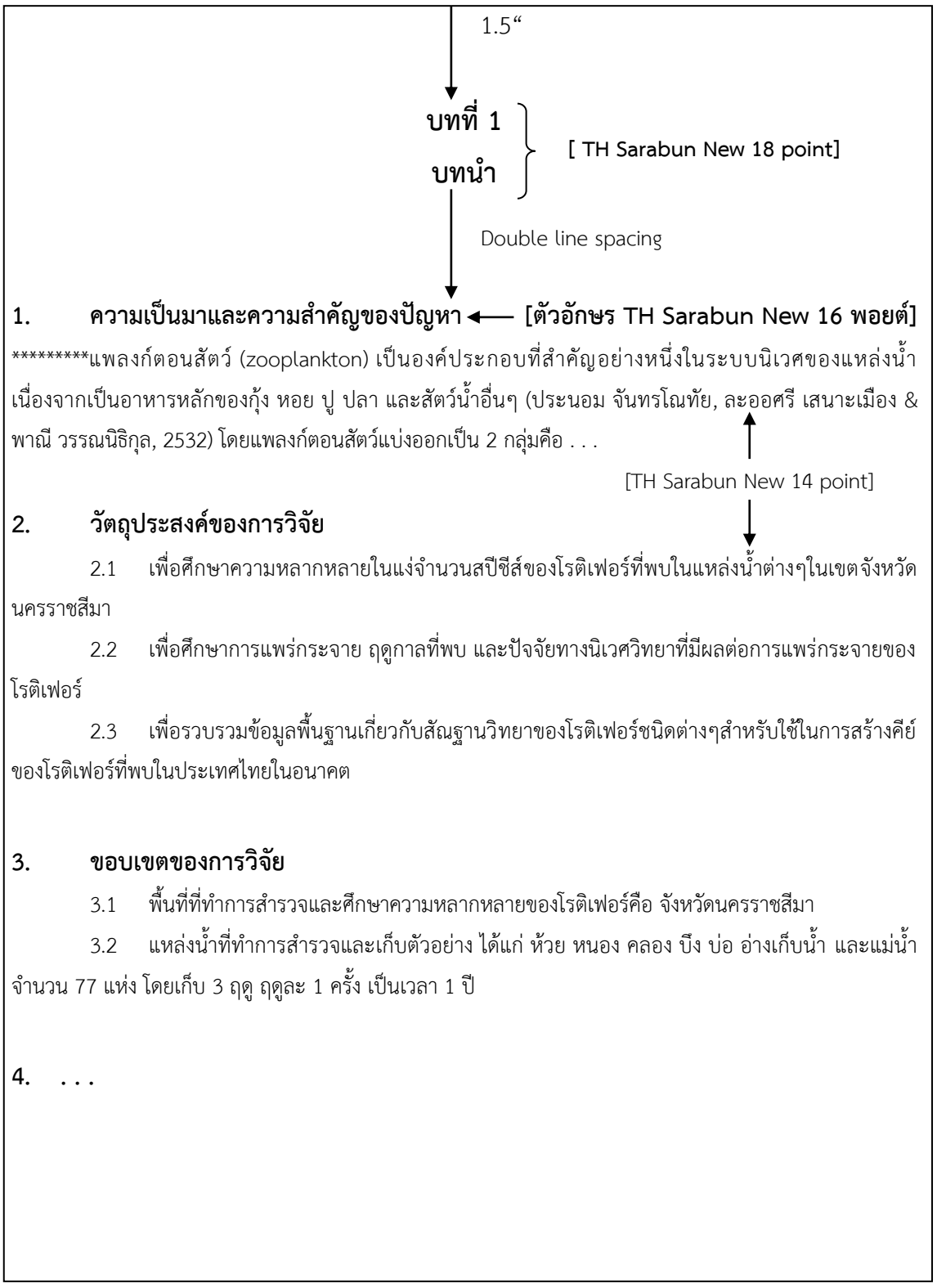

Example of Chapter and Content Layout–Thai Version

(Example 2)

บทที่ 2
วรรณกรรมและงานวิจัยที่เกี่ยวข้อง

1. สัณฐานวิทยาและการจัดระเบียบภายในของโรติเฟอร์

1.1 สัณฐานวิทยาภายนอก

โรติเฟอร์เป็นสัตว์หลายเซลล์ขนาดเล็กที่มีขนาด 40 ไมโครเมตรถึง 2.5 มิลลิเมตร แต่ส่วนใหญ่มีขนาดอยู่ระหว่าง 50-100 ไมโครเมตร (Clement & Wurdak, 1991) อย่างไรก็ตาม. . .

1.2 ระบบอวัยวะและหน้าที่

โรติเฟอร์มีระบบกล้ามเนื้อที่ประกอบด้วยเนื้อเยื่อ 3 ชั้น มีระบบทางเดินอาหาร ระบบขับถ่าย และระบบสืบพันธุ์ ซึ่งอวัยวะ. . .

1.2.1 โทรฟีและระบบทางเดินอาหาร

ระบบทางเดินอาหารของโรติเฟอร์มีลักษณะคล้ายท่อ โดยมีปากทางส่วนหัว และทวารหนักทางส่วนท้าย (Pechenik, 1996) (ภาพที่ 1) หลังจากที่. . .

โครงสร้างและรูปร่างของโทรฟีจะแตกต่างกันในโรติเฟอร์แต่ละชนิด ซึ่งสอดคล้องกับลักษณะในการบดเคี้ยงอาหาร. . . ทำให้สามารถแบ่งโทรฟีได้เป็น 9 ชนิดหลักๆ คือ

1.2.1.1 โทรฟีแบบมาลลีเอท (Malleate trophi) ทุกส่วนของอินคัสและมาลเลียสมีการพัฒนาและทำหน้าที่อย่างดี. . .

1.2.1.2 โทรฟีแบบมาลลีโอราเมท (Malleoramate trophi) โทรฟีแบบนี้คล้ายคลึงกับแบบ. . .

1.2.2 ระบบกล้ามเนื้อ

. . .

2. การเปลี่ยนแปลงรูปร่างตามฤดูกาล

การเปลี่ยนแปลงรูปร่างตามฤดูกาล (Cyclomorphosis) เป็นการเปลี่ยนแปลงรูปร่างภายนอก เช่น ขนาดตัว ความยาวของหนาม . . .

3. การจำแนกประเภท

โรติเฟอร์แบ่งออกเป็น 3 คลาสดังนี้

Example of Chapter and Content Layout–English Version

(Example 1)

1.5”

CHAPTER I

INTRODUCTION

Times New Roman
14 point **Bold**

1. Rationale and Background ← [Times New Roman 12 point **Bold**]

Acquired immunodeficiency syndrome (AIDS) is an infectious disease caused by human immunodeficiency virus (HIV). Of the two major forms of HIV, infection with type 1 (HIV-1) is prevalent throughout the world and is characterized by a slow, progressive deterioration of the immune system that is almost uniformly fatal (fauci, 1988; Redfield et al, 1988). By contrast, . . .

[Times New Roman 12 point]

2. Objectives of the Study

2.1 To develop a nested polymerase chain reaction (nested PCR) method for detection of HIV-1 DNA in peripheral blood mononuclear cells.

2.2 To develop a rapid and sensitive competitive reverse transcription and polymerase chain reaction (cRT-PCR) method for quantitation of HIV-1 RNA in plasma.

3. Scope and Limitation of the Study

3.1 To design oligonucleotide primers specific for *gag* region.

3.2 To develop the method for detection of HIV-1 DNA by nested PCR.

3.3 To determine the sensitivity and specificity of the method.

3.4 . . .

4. Anticipated Outcomes

Example of Chapter and Content Layout–English Version

(Example 2)

CHAPTER II
LITERATURE REVIEW

1. History

The first cases of AIDS in humans were recognized in 1981 based on an unusual clustering of disease including Kaposi's sarcoma *and Pneumocystis carini*i pneumonia in young homosexual men (Gottlieb et al, 1981; Masur et al, 1981; Siegal et al, 1981). AIDS cases were . . .

2. Virology

2.1 Classification

Both HIV-1 and HIV-2 are the members of RNA viruses that belonging to the mononcogenic, cytopathic *lentivirus* genus of retroviruses. . .

2.2 Composition of Virus

2.2.1 Virion Morphology, Structure, Size and Genomic Organization

The HIV-1 virion size is approximately 100 to 150 nm in diamethre which measures by electron microscopy. Mature viral particles are . . .

2.2.2 Major Structural and Regulatory Proteins

The major core proteins of HIV which encoded by the *gag* gene are synthesized as a large, . . .

2.3 Biology

2.3.1 Replication of HIV

. . .

Example of Table-Thai Version

2. วิธีการวิจัย

2.1 การเก็บตัวอย่างโรติเฟอร์

ทำการเก็บตัวอย่างโรติเฟอร์จากแหล่งน้ำต่างๆ ในเขตจังหวัดนครราชสีมา จำนวน 77 แห่ง โดยบันทึกรายชื่อแหล่งน้ำที่เก็บตัวอย่าง วันที่เก็บ ข้อมูลทางกายภาพของตำแหน่งที่เก็บ (ตารางที่ 1) เก็บตัวอย่างฤดูละ 1 ครั้ง จำนวน 3 ฤดู ได้แก่ . . .

ตารางที่ 1 รายชื่อแหล่งน้ำที่เก็บตัวอย่าง วันที่เก็บ และข้อมูลทางกายภาพของแหล่งน้ำ

สถานที่เก็บตัวอย่าง	วันที่เก็บ	อุณหภูมิของน้ำ (^{o}C)	PH	ค่าการนำไฟฟ้า (μScm^{-1})	ความเค็ม (%0)
อำเภอเมือง					
1. บึงทับช้าง	20-07-39	34	7.7	1350	0.0
	01-12-39	26	7.3	1100	0.0
	03-04-40	28	8.0	1250	0.0
2. ห้วยโนนตาทอง	20-07-39	30	7.5	2000	0.5
	01-12-39	26	7.5	390	0.0
3. อ่างเก็บน้ำห้วยยาง	21-07-39	30	8.3	-	-
	06-12-39	25	7.2	195	0.0
	07-04-40	30	7.8	235	0.0
4. หนองแก้ช้าง	21-07-39	32	7.8	-	-
	06-12-39	26	7.4	470	0.0
	16-04-40	33	8.0	750	0.0
5. บุ่งตาหลัว	21-07-39	31	7.7	-	-
	06-12-39	25	7.8	305	0.0
	16-04-40	32	8.0	415	0.0
6. หัวทะเล	21-07-39	31	8.3	-	

ตารางที่ 1 รายชื่อแหล่งน้ำที่เก็บตัวอย่าง วันที่เก็บ และข้อมูลทางกายภาพของแหล่งน้ำ (ต่อ)

สถานที่เก็บตัวอย่าง	วันที่เก็บ	อุณหภูมิของน้ำ (^{o}C)	PH	ค่าการนำไฟฟ้า (μScm^{-1})	ความเค็ม (%0)
	06-12-39	25	7.7	475	0.0
	06-04-40	30	8.4	700	0.0
7. คูเมืองชลนิรมิตร	21-07-39	33	8.8	-	-
	06-12-39	25	8.3	490	0.0
	16-04-40	30	8.3	750	0.0
8. คูเมืองข้างศาลากลาง	21-07-39	32	8.2	-	-
	06-12-39	27	7.8	370	0.0
	07-04-40	31	6.7	485	0.0
อำเภอโนนไทย					
9. ลำเชียงไกร	20-07-39	31	7.2	2000	0.5
	01-12-39	26	7.4	1000	0.5
	03-04-40	27	7.3	1650	1.0
10. ห้วยน้อย	01-12-39	24	7.6	255	0.0
	03-04-40	30	7.87.	750	0.0
11. สระหน้าเว้า	20-07-39	33	1	2500	0.5
	01-12-39	25	7.27.	1800	0.5
	03-04-40	30	4	2150	1.0
12. สระจระเข้	20-07-39	33	7.67.	470	0.0
	01-12-39	25	8	380	0.0
	03-04-40	30	8.57.	450	0.0
13. บึงจ่าสาม	20-07-39	32	4	1700	0.0
	01-12-39	26	7.78.	1350	0.0
	03-04-40	31	2	1650	1.0

ตารางที่ 1 รายชื่อแหล่งน้ำที่เก็บตัวอย่าง วันที่เก็บ และข้อมูลทางกายภาพของแหล่งน้ำ (ต่อ)

สถานที่เก็บตัวอย่าง	วันที่เก็บ	อุณหภูมิของน้ำ (^{o}C)	PH	ค่าการนำไฟฟ้า (μScm^{-1})	ความเค็ม (%0)
14. บึงบ้านวาง	20-07-39	32	8.68.	8000	3.5
	01-12-39	25	4	3900	3.0
	03-04-40	33	8.2	7500	3.5
อำเภอด่านขุนทด					
15. สระน้ำวัดบ้านหาญ	20-07-39	33	8.48.	370	0.0
	01-12-39	25	3	250	0.0
	03-04-40	35	8.28.	350	0.0
16. บึงบ้านหาญ	20-07-39	34	4	470	0.0
	01-12-39	24	8.3	295	0.0
	03-04-40	34	8.6	900	0.0
17. หนองสรวง	01-12-39	25	7.9	3700	2.0
	03-04-40	32	8.3	12500	5.5

Example of Table-English Version

1.4 DNA Amplification by Polymerase Chain Reaction (PCR)

. . . In secondary PCR, 5 μl of primary PCR products were added to new reaction tubes containing fresh PCR reagent with the corresponding inner primers. The samples were then subjected to 30 PCR cycles. The details of PCR cycles for each primer pair was presented in Table 2.

Table 2 The thermal cycling profiles of nested PCR.

Primer Pairs	**Program**	
GAGUP/GAGLO, SK380/SK390, And SK38/SK39	94 °C 3 min	1 cycle
	94 °C 30 s 55 °C 30 s 72 °C 30 s	30 cycles
	72 °C 7 min	1 cycle
SK462d/SK431r	50 °C 2 min	1 cycle
	95 °C 10 s 55 °C 10 s 72 °C 10 s	5 cycles
	90 °C 10 s 60 °C 10 s 72 °C 10 s	30 cycles
	72 °C 7 min	1 cycle
BRT/3519	94 °C 3 min	1 cycle
	94 °C 30 s 58 °C 30 s 72 °C 30 s	30 cycles
	72 °C 7 min	1 cycle
2566/2873, JA9/JA12, And JA10/JA11	94 °C 3 min	1 cycle
	94 °C 30 s 50 °C 30 s 72 °C 30 s	30 cycles
	72 °C 7 min	1 cycle

Example of the horizontal table-Even numbered page

Page Number
(even)

ตารางที่ 12 ผลการยับยั้งเชื้อ *Salmonella* sp. ในเนื้อสุกรบด เมื่อเติมน้ำมันหอมระเหยจากตะไคร้ที่ความเข้มข้น 0.20, 0.40, 0.80, 1.0 และ 2.0 % (v/w) ที่อุณหภูมิการเก็บ 8±1 องศาเซลเซียส

เวลา(วัน)	จำนวนเชื้อ *Salmonella* sp. (log cfu/g)						
	Control 1	Control 2	0.20%	0.40%	0.80%	1.00%	2.00%
0	0.29 ± 0.19^{a}	3.51 ± 0.13^{de}	3.23 ± 1.07^{klmno}	3.77 ± 0.26^{opqr}	2.92 ± 0.02^{qrs}	2.35 ± 0.13^{qrs}	1.89 ± 0.96^{opqr}
2	3.30 ± 0.69^{defgh}	5.04 ± 0.57^{klmno}	4.41 ± 1.04^{mnop}	4.33 ± 0.28^{pqrs}	3.61 ± 0.11^{rst}	3.47 ± 0.41^{t}	2.74 ± 0.23^{rt}
4	5.20 ± 0.15^{de}	5.33 ± 0.05^{hijklm}	4.59 ± 0.33^{jklm}	4.58 ± 0.09^{klmno}	4.35 ± 0.15^{klmno}	4.26 ± 0.67^{nopq}	3.44 ± 0.12^{lmnop}
6	5.81 ± 0.07^{efghi}	6.10 ± 0.33^{fghijkl}	4.93 ± 0.60^{jklm}	4.98 ± 0.97^{klmno}	4.53 ± 0.81^{klmno}	4.37 ± 0.32^{klmno}	3.30 ± 0.00^{klmno}
8	6.23 ± 0.20^{cde}	6.63 ± 0.12^{defghi}	5.12 ± 0.10^{fghijkl}	5.16 ± 0.27^{fghijklm}	4.56 ± 0.07^{jklm}	4.28 ± 0.45^{klmn}	3.30 ± 0.09^{jklm}
10	6.26 ± 0.24^{bc}	7.16 ± 0.27^{defg}	5.57 ± 0.28^{fghijk}	5.16 ± 0.27^{fghijklm}	4.78 ± 0.53^{fghijkl}	4.35 ± 0.87^{fghijkl}	3.50 ± 0.17^{ghijklm}
12	5.84 ± 0.13^{b}	6.90 ± 0.50^{cd}	5.23 ± 0.50^{def}	5.03 ± 0.80^{de}	4.58 ± 0.16^{de}	4.40 ± 0.00^{defgh}	3.47 ± 0.18^{defg}

a,b,...อักษรแนวตั้งเดียวและแนวนอนที่ต่างกันแสดงว่ามีความแตกต่างกันอย่างมีนัยสำคัญทางสถิติที่ระดับความเชื่อมั่นร้อยละ 95

Example of the horizontal table-Odd numbered page

Page Number (odd)

ตารางที่ 13 ผลการยับยั้งเชื้อ *Staph. aureus* ในเนื้อสุกรบด เมื่อเติมน้ำมันหอมระเหยจากตะไคร้ที่ความเข้มข้น 0.20, 0.40, 0.80, 1.0 และ 2.0 % (v/w) ที่อุณหภูมิการเก็บ 8±1 องศาเซลเซียส

เวลา(วัน)	จำนวนเชื้อ *Staphylococcus aureus* (log cfu/g)						
	Control 1	Control 2	0.20%	0.40%	0.80%	1.00%	2.00%
0	0.10 ± 0.17^{ab}	2.48 ± 0.20^{hijkl}	2.46 ± 0.15^{hijk}	2.48 ± 0.09^{hijkl}	1.84 ± 0.06^{fgh}	1.88 ± 0.19^{fgh}	0.78 ± 0.41^{bcd}
2	1.32 ± 0.15^{def}	2.80 ± 0.45^{ijklmn}	2.03 ± 0.63^{fghi}	2.01 ± 0.55^{fghi}	1.60 ± 0.52^{efg}	1.43 ± 0.78^{def}	0.00 ± 0.00^{a}
4	1.98 ± 0.50^{fgh}	3.40 ± 0.38^{lmnopq}	3.26 ± 0.67^{nopqr}	3.10 ± 0.34^{jklmnop}	2.07 ± 0.60^{fghi}	0.88 ± 0.16^{cde}	0.00 ± 0.00^{a}
6	2.47 ± 0.68^{hijk}	3.68 ± 0.30^{nopqr}	3.26 ± 0.24^{lmnopq}	3.20 ± 0.17^{klmnopq}	2.36 ± 0.47^{ghij}	1.39 ± 0.17^{def}	0.33 ± 0.35^{abc}
8	3.62 ± 0.60^{nopqr}	3.98 ± 0.28^{klmnopq}	3.23 ± 0.15^{qr}	2.97 ± 0.32^{jklmno}	2.40 ± 0.17^{hij}	1.91 ± 0.21^{fgh}	0.69 ± 0.08^{abcd}
10	3.83 ± 0.97^{pqr}	4.06 ± 0.31^{nopqr}	3.52 ± 0.18^{r}	3.32 ± 0.27^{mnopqr}	3.07 ± 0.20^{jklmnop}	2.60 ± 0.21^{hijklm}	0.69 ± 0.53^{abcd}
12	3.94 ± 0.31^{qr}	4.05 ± 0.34^{r}	3.43 ± 0.24^{nopqr}	3.41 ± 0.63^{nopqr}	3.30 ± 0.35^{mnopqr}	2.62 ± 0.65^{hijkl}	0.25 ± 0.13^{abc}

a,b...อักษรแนวตั้งและแนวนอนที่ต่างกันแสดงว่ามีความแตกต่างกันอย่างมีนัยสำคัญทางสถิติที่ระดับความเชื่อมั่นร้อยละ 95

Example of Figure Layout-Thai Version

การแพร่กระจายและระบาดของโรคผลเน่าแบคทีเรียในพืชตระกูลแตงเริ่มจากเชื้อแบคทีเรีย Aac มีการปนเปื้อนและติดมากับเมล็ดพันธุ์ เมื่อเมล็ดพันธุ์งอกเป็นต้นกล้าเชื้อจะเข้าทำลายระยะกล้า ซึ่งเป็นการทวีจำนวนของเชื้อในแปลงผลิตพืชตระกูลแตง หรือการมีเชื้อแบคทีเรีย Aac อยู่เดิมในสภาพแปลงผลิตพืชตระกูลแตง เชื้อแบคทีเรีย Aac แพร่ระบาดในแปลงปลูกโดยอาศัยตัวกลางเช่น หยดน้ำฝน ระบบน้ำที่ให้กับพืชในช่วงของการเพาะปลูก ลม แมลงที่มากัดกินหรือสัมผัสกับพืชเป็นโรค รวมทั้งการติดไปกับวัสดุอุปกรณ์และเครื่องมือในการปฏิบัติงานในแปลงรวมทั้งจากตัวบุคคลที่เข้าไปดูแลปฏิบัติงานในแปลงปลูก เชื้อแบคทีเรีย Aac สามารถอยู่ข้ามฤดูในแปลงผลิตพืชในรูปแบบของเศษซากพืชเป็นโรคและการอาศัยอยู่บนพืชอาศัยชนิดอื่นๆ รวมทั้งในเมล็ดพันธุ์ (ภาพที่ 1)

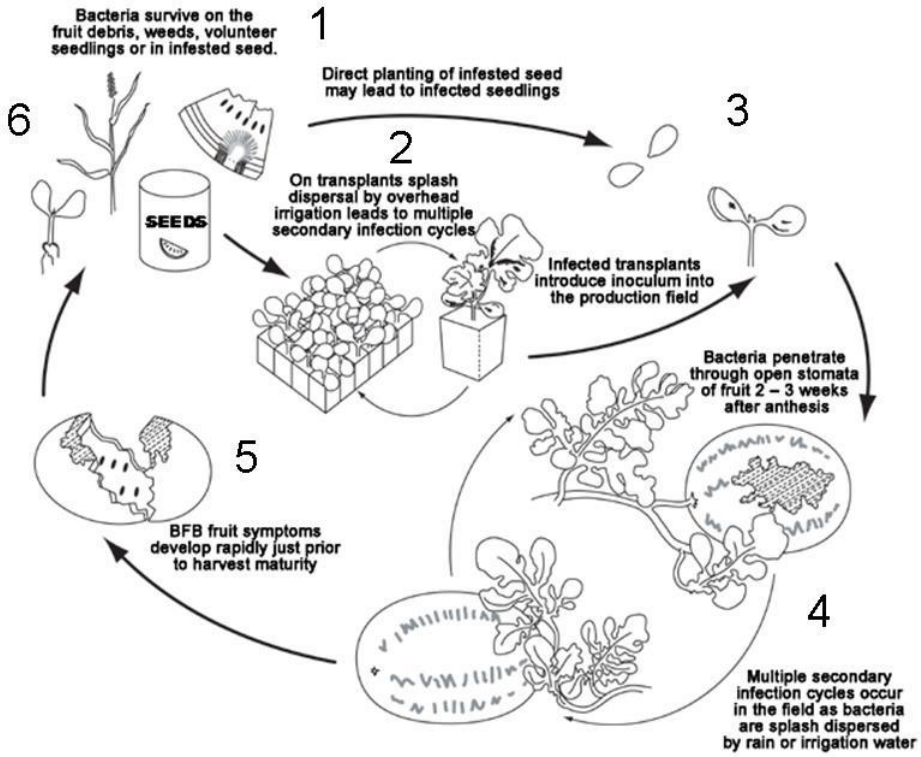

ภาพที่ 1 วงจรแพร่ระบาดของโรคผลเน่าแบคทีเรียในแตงโม (ดัดแปลงจาก Latin and Hopkins, 1995)

Example of Figure Layout-English Version

As mention above, Oxalate and CaOx-induced ROS formation and further cellular damages throughout the process of their chain reaction products as shown in Figure 2, and Figure 1 as mention above. Moreover ceramide lipid by product, affects intracellular pH that may alter cell function or trigger intrinsic apoptotic signal in acidic state (Famulski et al., 1999). In addition, excessive crystal deposition may induce local injury and inflammation indicated by cytosolic enzymes such as alkali phosphatase (ALP), leucine aminopepetidase (LAP) and *N*-acetyl-*β*-glucossaminidase (NAG) (Khan et al., 1992). Further local tissue damages accelerate the vicious cycling process of tubular epithelium damages and crystals attachment (Khan, 2006; Scheid et al., 2000). Thus, the fixing particles augment the progression of renal stone disease.

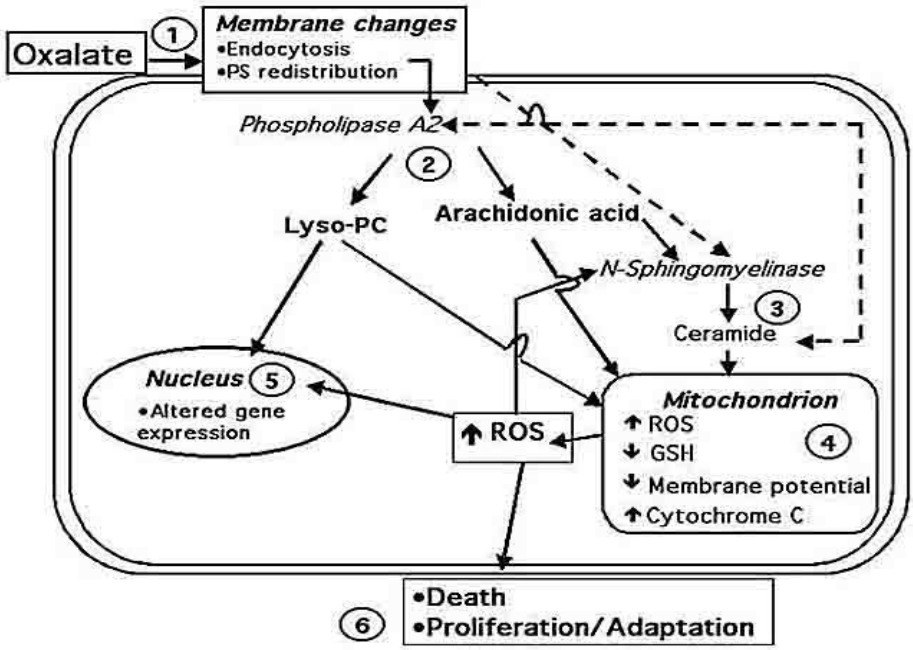

Figure 2 Oxalate induced mitochondrial oxidative stress from (1) passes through lipid signaling (2), (3), (4) (Scheid and Jonassen, 2004)